

ВХОД ТЕЛА В ВОДУ ЧЕРЕЗ СЛОЙ ЛЬДА

САГОМОНИЯ А. Я., ГАЕВСКАЯ И. С.

Пусть тело имеет форму тонкого конуса с углом раствора 2γ , переходящего на высоте h в цилиндр. Рассмотрим вертикальное проникание такого тела в полупространство, заполненное водой, на поверхности которой лежит слой льда толщиной l . До начала проникания лед и вода неподвижны, начальная скорость проникания V_0 перпендикулярна свободной поверхности льда. Будем считать, что скорость V_0 меньше скорости звука в воде.

При движении тонкого тела во льду возникает присоединенная ударная волна, на фронте которой происходит разрушение льда. Плавления льда на фронте волны не будет, так как в работе [1] экспериментально показано, что плавление льда на фронте волны наблюдается только при интенсивности волны большей $22 \cdot 10^6$ Па. В нашей задаче на рассматриваемом диапазоне скоростей удара такое давление не достигается. Перед фронтом разрушения распространяются акустические волны, под действием которых напряжения в среде достигают предела прочности P_0 , составляющего для льда $2 \div 5 \cdot 10^6$ Па. При прохождении ударной волны по льду за ее фронтом происходят необратимые объемные деформации, связанные с разрушением материала, в том числе пор, содержащих пузырьки воздуха, поэтому лед за ударной волной можно рассматривать как пластически сжимаемую среду. Сделаем допущение о том, что плотность льда меняется только на ударной волне и определяется интенсивностью волны, а тензор напряжения в среде за фронтом волны шаровой.

Для расчета движения тела во льду воспользуемся моделью, предложенной в работе [2] для решения задачи о проникании тонкого тела в пластически сжимаемую среду. В модели предполагается, что при описании движения среды вблизи тела можно применять гипотезу плоских сечений.

Задачу будем рассматривать в цилиндрической системе координат r, z , ось z направлена по оси тела вниз (фиг. 1). Пусть в момент времени t вершина конуса находится на глубине $H(t)$, а его скорость равна $\dot{H}(t)$. Исследуем движение среды в некотором произвольном сечении z . В момент, когда вершина конуса коснулась плоскости z , в плоскости в соответствии с используемой гипотезой плоских сечений возникла цилиндрическая ударная волна. В последующие моменты времени область возмущенного движения среды в плоскости z будет заключена между двумя окружностями: радиус внешней окружности равен координате фронта ударной волны $r = r^*$, внутренней границей области будет окружность радиуса

$R(t)$, являющаяся линией пересечения поверхности тела с рассматриваемой плоскостью z

$$R(t) = [H(t) - z]\gamma$$

Уравнения движения и неразрывности среды в сечении z имеют следующий вид:

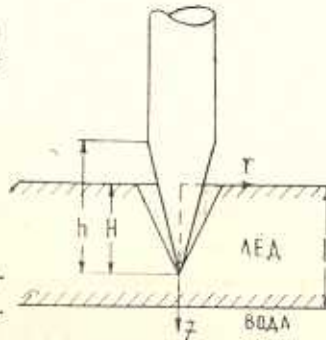
$$\begin{aligned} \rho_0 r \frac{\partial^2 u}{\partial t^2} &= (r + u) \frac{\partial P}{\partial r} \\ \frac{1}{2} \frac{\partial}{\partial r} (r + u)^2 &= \frac{\rho_0}{\rho} r \end{aligned} \quad (1.1)$$

где r — координата Лагранжа, u — перемещение частицы, ρ_0 , ρ — начальная и текущая плотность льда, P — давление.

Законы сохранения массы и импульса на фронте ударной волны при $r = r^*$ в сечении z записываются в виде:

$$\begin{aligned} \rho_0 D &= \rho(D - u^*) \\ \rho_0 D u^* &= P^* - P_0 \end{aligned}$$

здесь D — скорость ударной волны, u^* — скорость частиц на ударной волне, P_0 — давление перед фронтом волны, P^* — давление на ударной волне.



Фиг. 1.

Границные условия для системы (1.1) будут следующие:

$$\text{при } r = 0 \quad u(0, t) = R(t)$$

$$\text{при } r = r^* \quad P = P^*, \quad u = u^*, \quad u = 0$$

Решая полученную систему уравнений, найдем давление $P(z)$, действующее на коническую поверхность проникающего тела

$$P(z) = \frac{\rho_0}{2b} \left(\ln \frac{1}{1-b} \right) (H-z) H \gamma^2 + \frac{\rho_0}{2b} \left(\ln \frac{1}{1-b} + b \right) H^2 \gamma^2 + P_0$$

Параметр $b = \rho_0/\rho$ определяется по значению плотности за ударной волной в начальный момент проникания. В этот момент давление на фронте волны равно

$$P^* = P_0 + \rho_0 v_{\theta}^2 \gamma^2$$

Из динамической кривой сжатия льда по вычисленному значению P^* находят значение плотности ρ . Экспериментальная динамическая кривая сжатия льда с начальной плотностью $\rho_0 = 920 \text{ кг}/\text{м}^3$ приведена в работе [1].

Определим силу сопротивления, действующую в вертикальном направлении на коническую часть тела, расположенную выше линии раздела лед-вода.

При глубине проникания $H < h$ сила сопротивления равна

$$F_s = 2\pi\gamma^2 \int_0^H (H-z) P_s(z) dz = \gamma_s H^3 H + z_s H^2 \dot{H}^2 + \beta H^2$$

$$\gamma_s = \pi\gamma^4 \frac{P_0}{3b} \ln \frac{1}{1-b}; \quad z_s = \pi\gamma^4 \frac{P_0}{2b} \left(\ln \frac{1}{1-b} + b \right); \quad \beta = \pi\gamma^2 P_0 / 2$$

При дальнейшем проникании, когда H становится больше длины конической части проникающего тела h , происходит отрыв среды от боковой поверхности в точке $z = H - h$, и поверхность контакта конуса со льдом не меняется до того момента, пока вершина тела не коснется линии раздела лед-вода. Сила сопротивления на этом участке определяется по формуле

$$F_s = 2\pi\gamma^2 \int_{H-h}^H (H-z) P_s(z) dz = \gamma_s h^3 \dot{H} + z_s h^2 \dot{H}^2 + \beta h^2$$

При глубине проникания $H > l$ сила сопротивления со стороны льда действует только на ту часть конуса, которая находится выше линии раздела, на нижнюю часть конуса действует сила сопротивления воды. Сила F_s будет равна

$$F_s = 2\pi\gamma^2 \int_{H-l}^l (H-z) P_s(z) dz = \\ = \gamma_s [h^3 - (H-l)^3] \dot{H} + z_s [h^2 - (H-l)^2] \dot{H}^2 + \beta [h^2 - (H-l)^2]$$

Перейдем к рассмотрению движения тела в воде и определим силу сопротивления воды. Как показывают исследования, влиянием сжимаемости воды при проникании тонких тел в первом приближении можно пренебречь, поэтому будем в качестве модели воды использовать модель идеальной несжимаемой жидкости.

Пусть в момент времени t_1 , когда вершина конуса достигла линии раздела лед-вода, скорость тела равна V_1 . До момента $t = t_1$ жидкость покоялась. Движение, возникшее в жидкости при $t > t_1$ будет потенциальным. Потенциал скорости $\varphi(r, z, t)$ удовлетворяет уравнению Лапласа:

$$\Delta \varphi = 0$$

Поскольку для модели проникания тела в лед была принята гипотеза плоских сечений, то граничное условие на поверхности раздела $z = l$ для любого момента времени будет иметь вид

$$\frac{\partial \varphi}{\partial z} = 0$$

Граничное условие на поверхности тела в силу малости угла γ запишется так

$$\frac{\partial \varphi}{\partial r} = \begin{cases} \dot{H}, & \eta \leq z < \tilde{H} \\ 0, & 0 < z < \eta \end{cases} \quad (1.2)$$

Здесь $\tilde{H} = H - l$, а функция η задается в виде

$$\eta = \begin{cases} 0, & \tilde{H} < h \\ \tilde{H} - h, & \tilde{H} > h \end{cases}$$

Продолжим потенциал скорости на основании принципа симметрии четным образом на верхнюю полуплоскость и представим его в виде

$$\varphi = -\frac{1}{4\pi} \int_{-\tilde{H}}^{\tilde{H}} \frac{q(\xi)}{\sqrt{V(\xi-z)^2 + r^2}} \quad (1.3)$$

Задача свелась к определению функции $q(\xi)$. В работе [3] показано, что на образующей тонкого тела справедливо соотношение

$$\left(\frac{\partial \varphi}{\partial r} \right)_{r=0} \sim \frac{1}{2\pi} \frac{q(z)}{r}$$

Используя граничные условия (1.2) в рамках линейного приближения можно записать

$$q(z) = \begin{cases} 0, & z > H \\ 2\pi \gamma^2 (H-z) \dot{H}, & \eta \leq z \leq H \\ 0, & -\eta < z < \eta \\ 2\pi \gamma^2 (H+z) \dot{H}, & -H \leq z \leq -\eta \\ 0, & z < -H \end{cases} \quad (1.4)$$

Для упрощения знак «~» над величиной H временно опустим.

На основании (1.4) потенциал скорости (1.3) представится формулой

$$\varphi = -\frac{1}{2} \gamma^2 \dot{H} \left\{ \int_{\eta}^{H} \frac{(H-\xi) d\xi}{\sqrt{V(\xi-z)^2 + r^2}} + \int_{-H}^{-\eta} \frac{(H+\xi) d\xi}{\sqrt{V(\xi-z)^2 + r^2}} \right\}$$

Из линеаризованного уравнения Коши-Лагранжа определим давление, действующее на коническую поверхность тела

$$P_s(z) = -\rho_w \frac{\partial \varphi}{\partial t}$$

Рассмотрим два случая в зависимости от глубины проникания тела в воду.

а) глубина проникания в воду меньше h , то есть в воде находится только коническая часть тела. В этом случае давление и сила сопротивления соответственно равны

$$P_s(z) = \frac{1}{2} \rho_s \gamma^2 \dot{H} \left[(H-z) \left(\ln \frac{4}{\gamma^2} - 2 \right) + H \ln \frac{H+z}{H-z} + z \ln \frac{H^2 - z^2}{z^2} \right] + \frac{1}{2} \rho_s \gamma^2 \dot{H}^2 \left(\ln \frac{L}{\gamma^2} + \ln \frac{H+z}{H-z} \right)$$

$$F_s = 2\pi \gamma^2 \int_0^H (H-z) P_s(z) dz = i_s H^3 \dot{H} + x_s H^2 \dot{H}^2$$

$$i_s = \pi \gamma^3 \rho_s \left(-\frac{2}{3} \ln \gamma + 2 \ln 2 - 1 \right)$$

$$x_s = \pi \gamma^3 \rho_s (-\ln \gamma + 3 \ln 2 - 1)$$

б) глубина проникания в воду больше h

$$P_s(z) = \frac{1}{2} \rho_s \gamma^2 \dot{H} \left[(H-z) \left(\ln \frac{4}{\gamma^2} - 2 \right) + H \ln \frac{H+z}{H-z} \frac{z-\eta}{z+\eta} + z \ln \frac{H^2 - z^2}{z^2 - \eta^2} \right] + \frac{1}{2} \rho_s \gamma^2 \dot{H}^2 \left[\ln \frac{4}{\gamma^2} + \ln \frac{H+z}{H-z} \frac{z-\eta}{z+\eta} - \frac{h}{\sqrt{(z-\eta)^2 + (H-z)^2 \gamma^2}} - \frac{h}{\sqrt{(z+\eta)^2 + (H-z)^2 \gamma^2}} \right]$$

Следует отметить, что вершина тела и линия стыка конической части с цилиндрической являются особыми точками. Около вершины конуса давление стремится к бесконечности, а вблизи линии стыка возникает область разрежения. Нижнюю границу области разрежения можно определить из решения уравнения

$$P_s(z) = 0 \quad (1.5)$$

Расчеты показывают, что основной вклад в величину давления составляет член, пропорциональный \dot{H}^2 , поэтому членом \dot{H} можно пренебречь, и тогда уравнение (1.5) сводится к виду

$$\ln \frac{4}{\gamma^2} + \ln \frac{H+z}{H-z} \frac{z-\eta}{z+\eta} - \frac{h}{\sqrt{(z-\eta)^2 + (H-z)^2 \gamma^2}} - \frac{h}{\sqrt{(z+\eta)^2 + (H-z)^2 \gamma^2}} = 0$$

Сила сопротивления, действующая на тело, определяется по формуле

$$F_s = 2\pi \gamma^2 \int_0^H (H-z) P_s(z) dz = \ddot{H} f(H, \eta) + \dot{H}^2 g(H, \eta)$$

$$\begin{aligned}
g(H, \alpha) = & (H - \alpha)^2 \ln \frac{2}{\gamma} + \frac{(H - \alpha)^2}{2} \ln \frac{H + \alpha}{H - \alpha} \frac{\alpha - \eta}{\alpha + \eta} + \\
& + 2H^2 \ln \frac{2H}{H + \alpha} + \frac{1}{2} h^2 \ln \frac{h}{\alpha - \eta} - (H + \eta) \left(H + \frac{h}{2} \right) \ln \frac{H + \eta}{\alpha + \eta} + \\
& + h^2 - h^2 \ln \frac{2h}{\alpha - \eta + \sqrt{(\alpha - \eta)^2 + (H - \alpha)^2 \gamma^2}} \\
f(H, \alpha) = & \frac{2}{3} (H - \alpha)^3 \left(\ln \frac{2}{\gamma} - 1 \right) + H \left[-h(H - \alpha) + \right. \\
& + \frac{(H - \alpha)^2}{2} \ln \frac{H + \alpha}{H - \alpha} \frac{\alpha - \eta}{\alpha + \eta} - \frac{1}{2} (H + \eta)^2 \ln \frac{H + \eta}{\alpha + \eta} + \\
& \left. + h^2 \ln \frac{h}{\alpha - \eta} + 2H^2 \ln \frac{2H}{H + \alpha} \right] + \\
& + \frac{1}{3} \left[H^3 \ln \frac{H^2 - \eta^2}{4H^2} \frac{H + \alpha}{H - \alpha} + \eta^3 \ln \frac{H + \eta}{H - \eta} \frac{\alpha - \eta}{\alpha + \eta} - \right. \\
& \left. - \alpha^3 \ln \frac{\alpha^2 - \eta^2}{H^2 - \alpha^2} + 2(H^2 - \eta^2)(H - \alpha) \right] + \\
& + \frac{H}{2} \left[H^2 \ln \frac{H^2 - \alpha^2}{H^2 - \eta^2} + (\alpha^2 - \eta^2) \ln \frac{\alpha^2 - \eta^2}{H^2 - \alpha^2} \right]
\end{aligned}$$

α — нижняя граница области разрежения.

Объединим полученные решения и найдем зависимость между скоростью тела и глубиной проникания. Закон движения тела массы m будет

$$m\ddot{H} = -(F_s + F_n)$$

Выделим в процессе проникания четыре этапа в зависимости от глубины проникания (фиг. 2).

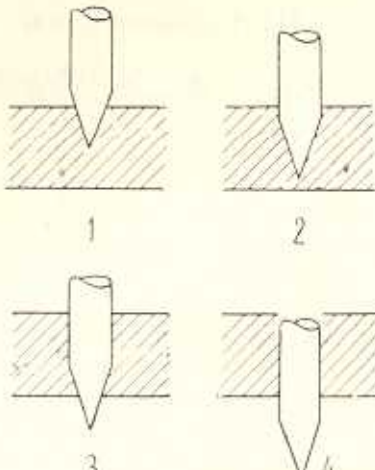
1. Глубина проникания $H \leq h$

Уравнение движения тела имеет вид

$$\begin{aligned}
m\ddot{H} = & -(\lambda_s H^3 \dot{H} + \alpha_s H^2 \dot{H}^2 + \beta H^2) \\
\dot{H}(0) = & V_0
\end{aligned}$$

Решение этого уравнения представляется формулой

$$\begin{aligned}
\dot{H} = & \left\{ -\frac{\beta}{\alpha_s} + \left(V_0^2 + \frac{\beta}{\alpha_s} \right) \times \right. \\
& \times \left. \left(1 + \frac{\lambda_s}{m} H^3 \right)^{-2\alpha_s/3\lambda_s} \right\}^{1/2} \quad (1.6)
\end{aligned}$$



Фиг. 2.

2. Глубина $h < H \leq l$

$$m\dot{H} = -(\lambda_h h^3 H + z_h h^2 \dot{H}^2 + \beta h^2)$$

$$\dot{H}(h) = V_h$$

V_h — значение скорости тела на глубине $H = h$, вычисленное по формуле (1.6).

Решение уравнения:

$$\dot{H} = \left\{ -\frac{\beta}{z_h} + \left(V_h^2 + \frac{\beta}{z_h} \right) \exp \left[-\frac{2z_h h^2}{m + \lambda_h h^3} (H - h) \right] \right\}^{1/2} \quad (1.7)$$

3. Глубина $l < H \leq l + h$

В этом случае на нижнюю часть конуса действует сила сопротивления со стороны жидкости, а на верхнюю — сила сопротивления льда. Уравнение движения имеет вид

$$m\ddot{H} = -[\lambda_h (h^3 - \tilde{H}^3) \dot{H} + \dot{H}^2 z_h (h^2 - \tilde{H}^2) + \beta (h^2 - \tilde{H}^2) + i_h \tilde{H}^3 \dot{H} + z_h \tilde{H}^2 \dot{H}^2]$$

$$\dot{H}(l) = V_l, \quad \tilde{H} = H - l$$

V_l — значение скорости, найденное по формуле (1.7) для $H = l$. В общем случае уравнение не имеет аналитического решения. Если скорость проникания достаточно велика, то, как показали расчеты, вклад члена, пропорционального величине β , мал на всех этапах и этим членом можно пренебречь. В этом случае уравнение имеет аналитическое решение:

$$\dot{H} = V_l \exp [-Q(\tilde{H})]$$

Функция $Q(x)$ задается в виде

$$Q(x) = \frac{z_h - z_a}{\lambda_h - \lambda_a} \left[\frac{1}{3} \ln \frac{a^3 - x^3}{a^3} - \frac{b}{6a^2} \ln \frac{(a-x)^2}{a^2 + ax + x^2} + \right. \\ \left. + \frac{b}{a^2 \sqrt{3}} \arctg \left(\frac{2x+a}{a \sqrt{3}} - \frac{\pi}{6} \right) \right]$$

$$a^3 = \frac{m + \lambda_h h^3}{\lambda_h - \lambda_a}; \quad b = \frac{z_h h^2}{z_h - z_a}$$

4. Глубина проникания $H > l + h$

$$m\ddot{H} = -[Hf(\tilde{H}, z) + \dot{H}^2 g(\tilde{H}, z)]$$

$$\dot{H}(l+h) = v_{l+h}$$

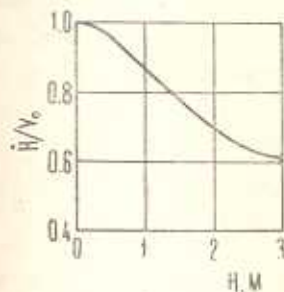
Решение уравнения

$$\dot{H} = v_{l+h} \exp \left(- \int_l^{\tilde{H}} \frac{g(\tilde{H}, z)}{m + f(\tilde{H}, z)} d\tilde{H} \right)$$

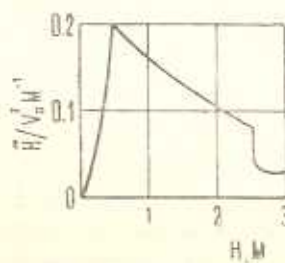
Расчеты показали, что величина $f(\tilde{H}, \alpha)$ значительно меньше массы тела m , а значения функции $g(\tilde{H}, \alpha)$ мало меняются при увеличении \tilde{H} . Полагая $g(\tilde{H}, \alpha) = \text{const} = G$ формулу можно упростить

$$\tilde{H} = V_{1+h} \exp \left[-\frac{G}{m} (\tilde{H} - h) \right]$$

Результаты расчетов для тела массы 10 кг, с углом полурасстояния $\gamma = 10^\circ$, высотой конической части $h = 0,5$ м и значением l , равным $4h$, представлены на графиках. На фиг. 3 показана зависимость скорости тела от глубины проникания. На фиг. 4 показано изменение ускорения тела



Фиг. 3.



Фиг. 4.

в процессе движения. Следует отметить, что максимальная величина ускорения достигается на глубине $H = h$, далее наблюдается монотонный спад ускорения до глубины $H = l + h$, после начала входа в воду цилиндрической части ускорение резко падает.

ИЗДАНИЕ РЕПРЕССИИ ИЗДАЧИ, ИЗДАЧИ, ИЗДАЧИ, ИЗДАЧИ, ИЗДАЧИ, ИЗДАЧИ

И. ЗИЛ, ИЗДАЧИ, ИЗДАЧИ, И. И. ЧИБИСОВА

Изд. физ. н.н.м.

Հայութում ուսումնասիրվում է վերջավոր հաստությամբ սառուցի շերտի միջով պինդ, նեղ կոնի ներթափանցումը իդեալական անսեղմելի հեղուկի մեջ, որը զրակեցնում է կիսատարածությունը: Մանրության ուժերը արհամարվում են ենթադրվում են, որ սառուցի մեջ ներթափանցման պրոցեսը տեղի է ունենալու բարբարական մակերեսութիւնի (ալիքի) առաջացումով, սառուցի հալում տեղի չի ունենալու: Վերջին ենթադրությունը հիմնված է գրւիճանության ցանկի [1] տշխատանքի արդյունքների վրա: Մտացված է ներթափանցման օրենքը որոշ անալիտիկ փակ բանաձևեր:

THE PENETRATION OF A BODY INTO WATER THROUGH A LAYER OF ICE

A. Ja. SAGOMONIAN, I. S. GAEVSKAYA

Summary

In the paper the problem of vertical penetration of a rigid narrow cone through a layer of ice of finite thickness in ideal incompressible fluid occupying half the space is investigated. The gravitation forces are neglected. It is supposed that the process of penetration in a layer of ice is realized with the formation of the surface (wave) of fracture; the melting (thaw) of ice does not occur. The latter assumption is based on the results of paper [1] in the reference list. Closed analytical formulae, determining the law of penetration, are obtained.

ЛИТЕРАТУРА

1. Schroeder R. C., Mc Master W. H. Shock compression freezing and melting of water and ice — J. Appl. Phys., 1973, 44, No. 6, p. 2591—2594.
2. Сагомонян А. Я. Проникание. М.: Изд. МГУ, 1974.
3. Батлосев А. Г. Пространственные нестационарные движения сплошной среды с ударными волнами. Ереван: Изд. АН Арм. ССР, 1961.

Московский государственный университет

Поступила в редакцию
25. X. 1982